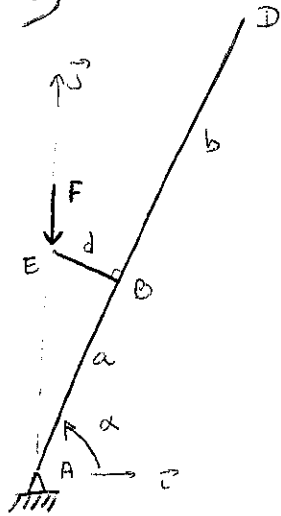


modèle a)



bilan des actions

passerelle $\rightarrow \left\{ \begin{matrix} \mathcal{C}_i \\ \mathcal{C}_j \end{matrix} \right\} = \left\{ \begin{matrix} -F \vec{j} \\ \vec{0} \end{matrix} \right\}_E$

appui simple $\left\{ \begin{matrix} \mathcal{C}_i \\ \mathcal{C}_j \end{matrix} \right\} = \left\{ \begin{matrix} R_1 \vec{i} + R_2 \vec{j} \\ \vec{0} \end{matrix} \right\}_A$

Equilibre de la structure

$$\Sigma \left\{ \mathcal{C}_i \right\} = \left\{ \vec{0} \right\}$$

$$\left\{ \begin{matrix} -F \vec{j} \\ \vec{0} \end{matrix} \right\}_E + \left\{ \begin{matrix} R_1 \vec{i} + R_2 \vec{j} \\ \vec{0} \end{matrix} \right\}_A = \left\{ \vec{0} \right\}$$

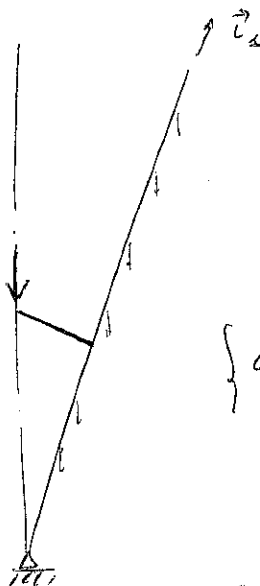
$$\left\{ \begin{matrix} -F \vec{j} \\ \vec{0} \end{matrix} \right\}_E + \left\{ \begin{matrix} R_1 \vec{i} + R_2 \vec{j} \\ \vec{0} \end{matrix} \right\}_A = \left\{ \vec{0} \right\}$$

$$\begin{cases} R_1 = 0 \\ R_2 = F \\ 0 = 0 \end{cases}$$

la structure est en équilibre

modèle b)

Avec le poids propre de la poutre AD



En ajout

$$\left\{ d\mathcal{C}_i \right\} = \left\{ \begin{matrix} \rho S(z_p) g (-\vec{j}) \\ \vec{0} \end{matrix} \right\}_p$$

L'équilibre donne

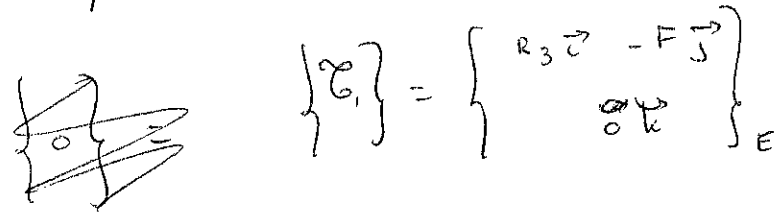
$$\left\{ \vec{0} \right\} = \left\{ \begin{matrix} -F \vec{j} + R_1 \vec{i} + R_2 \vec{j} \\ \vec{0} \end{matrix} \right\}_A + \int_A^D \left\{ \begin{matrix} \rho S(z_p) g ds_p (-\vec{j}) \\ \rho S(z_p) g ds_p (-\vec{j}) n - \rho \frac{z_p}{L} \vec{i} \end{matrix} \right\}$$

$$\left\{ \vec{0} \right\} = \left\{ \begin{matrix} R_1 \vec{i} + \left(R_2 - F - \int_0^{a+b} \rho S(z_p) g ds_p \right) \vec{j} \\ \int_0^{a+b} -\rho S(z_p) g ds_p \cdot z_p \cos \alpha \vec{i} \end{matrix} \right\}_A$$

le système ne peut pas être à l'équilibre car l'équation de moment autour de l'axe A le n'est pas nulle.

modèle c)

Avec le poids propre de la poutre, et une action horizontale de la passerelle sur la poutre.



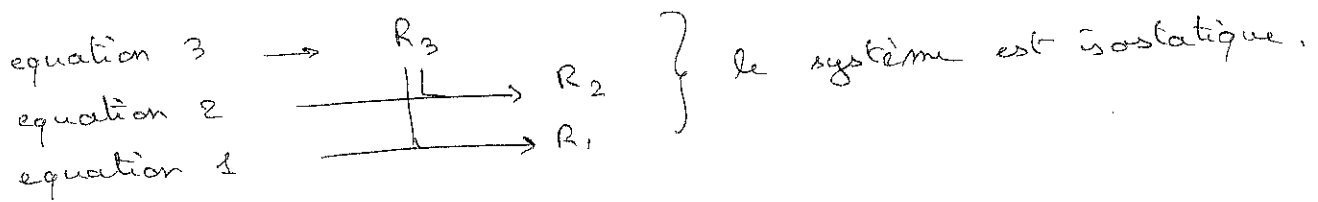
L'équilibre s'écrit.

$$\left\{ \begin{array}{l} (R_3 + R_1) \vec{i} + (R_2 - F - \int_0^{a+b} p S(s_p) g ds_p) \vec{j} \\ (-R_3 \sqrt{a^2 + d^2} - p g \cos \alpha \int_0^{a+b} s_p S(s_p) ds_p) \vec{k} \end{array} \right\}_A = \left\{ \begin{array}{l} 0 \\ 0 \\ 0 \end{array} \right\}$$

le système d'équation est.

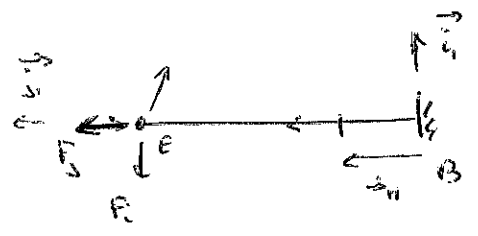
$$\begin{cases} \textcircled{1} & R_1 + R_3 = 0 \\ \textcircled{2} & R_2 - F - p g \int_0^{a+b} S(s_p) ds_p = 0 \\ \textcircled{3} & -R_3 \sqrt{a^2 + d^2} - p g \cos \alpha \int_0^{a+b} s_p S(s_p) ds_p = 0 \end{cases}$$

chargement $[g, F]$



$$\begin{cases} R_1 = + \frac{p g \cos \alpha}{\sqrt{a^2 + d^2}} \int_0^{a+b} s_p S(s_p) ds_p \\ R_2 = F + p g \int_0^{a+b} S(s_p) ds_p = F + p g V \\ R_3 = - \frac{p g \cos \alpha}{\sqrt{a^2 + d^2}} \int_0^{a+b} s_p S(s_p) ds_p \end{cases}$$

10616 Redite du bras : modèle d)



1

Ensemble des effets intérieurs

On oriente le point de B vers E

le problème est plan.

$$\begin{aligned} \{C_{\text{int}}\} &= \int \{C_{s,r}\} \\ &= \left\{ \begin{array}{l} -F_i \vec{e}_1 + F_j \vec{e}_2 \\ \vec{0} \end{array} \right\}_E \\ &= \left\{ \begin{array}{l} -F_i \vec{e}_1 + F_j \vec{e}_2 \\ F_i (d-x_H) \vec{e}_3 \end{array} \right\}_H. \end{aligned}$$

On se place dans le repère local.

$$\begin{aligned} \left\{ \begin{array}{l} \vec{e}_1 \\ \vec{e}_2 \\ \vec{e}_3 \end{array} \right\} &= \left\{ \begin{array}{l} -\vec{e}_1 \\ \vec{e}_2 \\ \vec{e}_3 \end{array} \right\} \\ &= \left\{ \begin{array}{l} F_j \vec{e}_1 + F_i \vec{e}_2 \\ F_i (d-x_H) \vec{e}_3 \end{array} \right\}_H \end{aligned}$$

Formules de Bresse encastrement

$$\begin{aligned} \vec{u}_E &= \cancel{\frac{F_j}{B}} + \cancel{\frac{F_i}{B}} \wedge \vec{BE} + \int_0^d \frac{F_j}{ES} \vec{e}_1 dx_H + \int_0^d \frac{F_i}{ES} \vec{e}_2 dx_H \\ &+ \int_0^d \frac{F_i (d-x_H)}{E I_H} \vec{e}_3 \wedge (d-x_H) \vec{e}_1 dx_H. \end{aligned}$$

négligeable

$$\vec{u}_E = \frac{F_j d}{E B^2} \vec{e}_1 + \frac{F_i d^3}{3 E I_H} \vec{e}_2$$

$$\vec{u}_E = \frac{F_j d}{E B^2} \vec{e}_1 + \frac{4 F_i d^3}{E B^2 I_H} (-\vec{e}_1)$$

② la contrainte maximal est donnée par .

$$\sigma = - \frac{12 f \cdot y}{b h^3} + \frac{N}{b h}$$

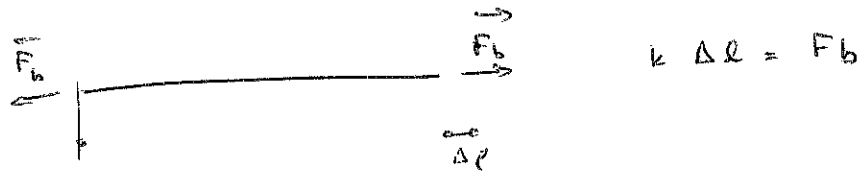
$$\sigma = + \frac{12 F_i (d - s_H)}{2 b h^2} + \frac{F_j}{b h}$$

$> 0 \qquad \qquad \qquad > 0$

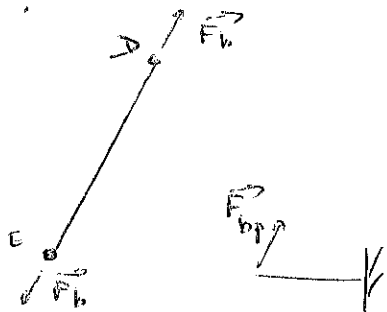
$$\sigma = + 6 \frac{F_i (d - s_H)}{b h^2} + \frac{F_j}{b h}$$

point le plus sollicité $\Rightarrow s_H = 0$ (en B), pour $y = -\frac{h}{2}$
donc sur la fibre inférieure (la face du dessus / gravité)

10h55 ③



10h56 ④



D'après le principe d'action et de réaction,

$$\vec{F}_{b,p} = -\vec{F}_b$$

10h57 ⑤

Si on suppose le pt D fixe,

la longueur de la barre sans forces est $l = \sqrt{b^2 + d^2}$

Avec les déplacements, la longueur de la barre est

$$l' = \sqrt{(b - \vec{u}_E \cdot \vec{e}_i)^2 + (d + (\vec{u}_E \cdot \vec{j}_i))^2}$$

On peut négliger le second terme déplacement / premier.

$$l' = \sqrt{(b - u_{Ei})^2 + d^2}$$

$$\Delta l = l' - l$$

$$= \sqrt{(b - u_{Ei})^2 + d^2} - \sqrt{b^2 + d^2}$$

Poissons $\varepsilon = \frac{v \varepsilon_i}{b} \ll 1$

$\delta = \frac{d}{b} \ll 1$

11h04)
13h02)

$$\begin{aligned} \Delta L &= b \left[\sqrt{(1-\varepsilon)^2 + \delta^2} - \sqrt{1 + \delta^2} \right] \\ &= b \left[\sqrt{1 - 2\varepsilon + \varepsilon^2 + \delta^2} - \sqrt{1 + \delta^2} \right] \\ &= b \left[1 + \frac{1}{2} \delta^2 - \varepsilon - 1 - \frac{1}{2} \delta^2 \right] \end{aligned}$$

car $(1-\varepsilon)^{1/2} = 1 - \frac{1}{2} \varepsilon$


$= -b \varepsilon$

$= -b \frac{v \varepsilon_i}{b}$

13h01)

$\Delta L = -v \varepsilon_i$ au premier ordre

⑥ Il faut ajouter le changement \vec{F}_{bp}
Si on le décompose suivant les 2 directions.



$\vec{F}_{bp} = -F_{bp1} \vec{x} - F_{bp2} \vec{y}$

le changement total en E est.

$$\left\{ \begin{array}{l} \vec{0} \\ \vec{0} \end{array} \right\} = \left\{ \begin{array}{l} (F_i - F_{bp1}) \vec{x} - (F_i - F_{bp2}) \vec{y} \\ \vec{0} \end{array} \right\}_E$$

le résultat final est.

$$\vec{v}_E = \frac{F_i - F_{bp1}}{E \tilde{h} \tilde{h}} \vec{x} + \frac{4(F_i - F_{bp2}) d^3}{E \tilde{h} \tilde{h}^3} (-\vec{y})$$

On $\Delta L = -\vec{v}_E \cdot \vec{x}$

$$\frac{F_b}{k} = \frac{4(F_i - F_{bp2}) d^3}{E \tilde{h} \tilde{h}^3}$$

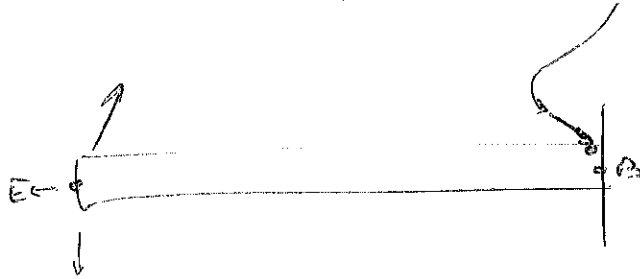
On $F_{bp2} = F_b \cos \beta$ $F_{bp1} = F_b \sin \beta$

$$F_b \left(\frac{\cos \beta}{k} + \frac{4 d^3}{E \tilde{h} \tilde{h}^3} \right) = \frac{4 d^3}{E \tilde{h} \tilde{h}^3} F_i$$

$$F_b = F_i \left[\frac{1}{\frac{E \tilde{h} \tilde{h}^3 \cos \beta}{4 d^3 k} + 1} \right] = F_i \delta$$

$$\text{d'où } \vec{u}_E = \frac{F_j - \delta F_i}{E \tilde{b} \tilde{h}} \vec{\delta}_1 + \frac{4 F_i (1 - \delta) d^3}{E \tilde{b} \tilde{h}^3} (-\vec{e}_i)$$

7) les signes des forces globales sont inchangées donc le pt le plus sollicité est toujours



la contrainte maximale est

$$\sigma = 6 \frac{F_i (1 - \delta) d}{b \tilde{h}^2} + \frac{F_j - F_i \delta \sin \beta}{b \tilde{h}}$$

(3415) 3) la contrainte maximale diminue. car $\delta > 0$